

# کران بالا و پایین توان ICI در سیستم FrFT-OFDM

## در کanal فرکانس گزین متغیر با زمان

زهرا مختاری و مریم صباغیان

می‌شود. در ادامه این مقاله از FT-OFDM برای سیستم قدیمی FrFT-OFDM برای سیستم جدید استفاده می‌کنیم. FrFT با زاویه  $\alpha$  معادل با چرخش  $\alpha$  درجه پاد ساعت‌گرد در صفحه زمان-فرکانس است که در حالت  $\alpha = \pi/2$  به تبدیل فوریه عادی تبدیل می‌شود. بنابراین FrFT-OFDM را می‌توان سیستم چند‌حامله تعمیم‌بافته (GMC)<sup>۸</sup> معرفی شده در [۴] دانست که سیستم‌های FT-OFDM و FrFT-OFDM<sup>۹</sup> حالت‌های خاص آن به ترتیب به ازای  $\alpha = \pi/2$  و  $\alpha = 0$  هستند. برای پیاده‌سازی FrFT، فرم‌های گسته مختلفی پیشنهاد شده است [۵] و [۶]. با وجود آمدن الگوریتم‌های سریع برای پیاده‌سازی FrFT، سیستم FT-OFDM و FrFT-OFDM دارای پیچیدگی محاسباتی یکسانی هستند [۷].

در این مقاله هدف ما آسان‌کردن بررسی اثر فرکانس داپلر و زاویه تبدیل FrFT بر توان ICI در سیستم FrFT-OFDM در حضور کanal فرکانس گزین متغیر با زمان است. همان طور که در توضیح مدل سیستم بیان خواهد شد، عبارت دقیق توان تداخل بسیار پیچیده است و دید مناسبی از تأثیر این پارامترها بر توان تداخل نمی‌دهد [۸]. به همین دلیل در این مقاله به ارائه کران بالا و پایین برای توان ICI می‌پردازیم. این کران‌ها بسیار ساده‌تر از مقدار دقیق توان ICI هستند به طوری که می‌توان به وسیله آنها توان تداخل را باتابع چندجمله‌ای از فرکانس داپلر و  $\cot \alpha$  تخمین زد. کران‌های به دست آمده به مقدار واقعی نزدیک هستند و به خوبی می‌توانند  $\alpha$  ای را که در آن توان ICI مینیمیم می‌شود نشان دهند. همچنین بررسی‌ها تأیید می‌کنند که در کanal‌های مستقل از زمان دارای FrFT-OFDM و FrFT-OFDM دارای عملکرد یکسانی هستند. ولی در کanal‌های فرکانس گزین متغیر با زمان سیستم FrFT-OFDM با زاویه بهینه دارای عملکرد بهتری است.

### ۲- تبدیل فوریه کسری

تبدیل فوریه عادی معادل چرخش پاد ساعت‌گرد در صفحه زمان-فرکانس است. با این دیدگاه، همچنان که در شکل ۱ نشان داده شده است، تبدیل فوریه کسری معادل با چرخش  $\alpha$  درجه پاد ساعت‌گرد در این صفحه است که در حالت  $\alpha = \pi/2$  به تبدیل فوریه عادی تبدیل می‌شود [۹].

تبدیل فوریه کسری پیوسته با زاویه  $\alpha$  تابع  $s(t)$  به صورت زیر تعریف می‌شود

$$S_\alpha(f) = \int_{-\infty}^{\infty} K_\alpha(f, t) s(t) dt \quad (1)$$

7. Inverse Fractional Fourier Transform

8. Generalized Multi Carrier

9. Single Carrier

چکیده: در این مقاله توان تداخل بین زیرحاملهای (ICI) در سیستم مدولاسیون تقسیم فرکانس متعامد بر اساس تبدیل فوریه کسری (FrFT-OFDM) مورد بررسی قرار گرفته است. همچنین به ارائه کران‌های بالا و پایین دقیق بروای توان ICI در سیستم FrFT-OFDM در کanal فرکانس گزین متغیر با زمان پرداخته شده است. کران‌های به دست آمده دارای عبارات بسیار ساده‌تری نسبت به مقدار دقیق توان ICI هستند و بنابراین دید بهتری نسبت به تأثیر پارامترهایی همچون فرکانس داپلر، زمان سمبول، تأخیر کanal و زاویه تبدیل FrFT بر ICI می‌دهند. بررسی‌ها در این مقاله تأیید می‌کنند که در کanal‌های فرکانس گزین متغیر با زمان، با انتخاب زاویه تبدیل مناسب، عملکرد بسیستم FrFT-OFDM از سیستم تک‌حامله FrFT-OFDM بسیار بهتر است.

کلیدواژه: مدولاسیون تقسیم فرکانس متعامد، تداخل بین زیرحاملهای، تبدیل فوریه کسری، کanal فرکانس گزین متغیر با زمان.

### ۱- مقدمه

مدولاسیون تقسیم فرکانس<sup>۱</sup> (OFDM) یک روش ارسال چند‌حاملهای است که در آن داده‌ها به صورت موازی توسط حامل‌های متعامد ارسال می‌شوند. این تعامد حامل‌ها توانایی مقابله با فرکانس گزینی کanal را فراهم می‌سازد اما این سیستم زمانی که تغییرات زمانی کanal شدید است، به دلیل به وجود آمدن تداخل بین زیرحاملهای (ICI) عملکرد خوب خود را از دست می‌دهد [۱] و [۲]. مرجع [۳] برای مقابله با این مشکل، یک سیستم چند‌حامله جدید معرفی کرده است که در کanal‌های فرکانس گزین متغیر با زمان دارای عملکرد بهتری نسبت به سیستم OFDM است. در سیستم جدید، توابع پایه نمایی با توابع پایه chirp متعامد با نرخ  $\cot \alpha$ -جایگزین می‌شوند. بنابراین فرکانس حامل‌ها با نرخ  $\cot \alpha$  زمان تغییر می‌کنند. این سیستم مشابه با سیستم OFDM است با این تفاوت که به جای بلاک‌های تبدیل فوریه سریع (FFT) و عکس آن<sup>۵</sup> (IFFT) از تبدیل فوریه کسری<sup>۶</sup> (FrFT) و عکس آن<sup>۷</sup> (IFrFT) استفاده

این مقاله در تاریخ ۱۲ خرداد ماه ۱۳۹۳ دریافت و در تاریخ ۳۱ خرداد ماه ۱۳۹۴ بازنگری شد.

زهرا مختاری، دانشکده مهندسی برق و کامپیوتر، پردیس دانشکده‌های فنی، دانشگاه

تهران، تهران، (email: z.mokhtari@ut.ac.ir).

مریم صباغیان، دانشکده مهندسی برق و کامپیوتر، پردیس دانشکده‌های فنی،

دانشگاه تهران، تهران، (email: msabbaghian@ut.ac.ir).

1. Orthogonal Frequency Division Multiplexing

2. Multi Carrier

3. Inter Carrier Interference

4. Fast Fourier Transform

5. Inverse Fast Fourier Transform

6. Fractional Fourier Transform

### ۳- مدل سیستم

در سیستم FrFT-OFDM بلاک‌های FFT وIFFT موجود در سیستم OFDM به ترتیب با بلاک‌های FrFT و IFrFT جایگزین می‌شوند. با فرض این که داده‌ها در حوزه FrFT به صورت بردار  $d$  باشند و با توجه به رابطه عکس تبدیل فوریه کسری، سیگنال ارسالی در حوزه زمان را می‌توان به صورت زیر نوشت [۱۱]

$$x(t) = \sum_{k=-\frac{N}{2}}^{\frac{N}{2}} d(k) \sqrt{\frac{\sin \alpha + j \cos \alpha}{T}} \exp \frac{-jt^\tau \cot \alpha}{2} \times \exp \left( \frac{-j}{2} \left( \frac{2\pi \sin \alpha}{T} \right)^\tau k^\tau \cot \alpha \right) \exp \frac{j2\pi kt}{T} \quad (5)$$

که  $N$  و  $T$  و  $d(k)$  به ترتیب طول بلاک، زمان سمبل FrFT-OFDM و داده زیرحامی  $k$  ام هستند.  $\alpha < \pi < \alpha + \pi$  زاویه تبدیل فوریه کسری است. در اینجا فرض می‌کنیم که یک کانال چندمسیره متغیر با زمان داریم که هر مسیر دارای فرکانس داپلر متفاوتی است و برای مدل کردن تغییرات زمانی آن از مدل Jakes استفاده می‌کنیم. سیگنال دریافتی پس از عبور از کانال برابر است با

$$y(t) = \sum_i h_i(t) x(t - \tau_i) \exp(-j2\pi f_i t) \quad (6)$$

که در آن  $\tau_i$  و  $f_i$  به ترتیب تأخیر و فرکانس داپلر مسیر  $i$  ام هستند. تابع همبستگی مسیر  $i$  ام و مسیر  $l$  ام در فواصل زمانی  $\tau$  برابر است با

$$r_{i,l}(\tau) = E(h_i(t + \tau) h_l^*(t)) = \sigma_i^\tau J_\tau(2\pi f_d \tau) \delta(i - l) \quad (7)$$

که  $f_d$  مکسیمم فرکانس داپلر،  $\sigma_i^\tau$  توان مسیر  $i$  ام،  $J_\tau$  تابع بسل درجه صفرم نوع اول و نیز  $(\cdot)^\tau$  تابع ضربه و  $\{\cdot\}$  تابع میانگین است.

در گیرنده، داده‌های دریافتی پس از تبدیل فوریه کسری برابرند با

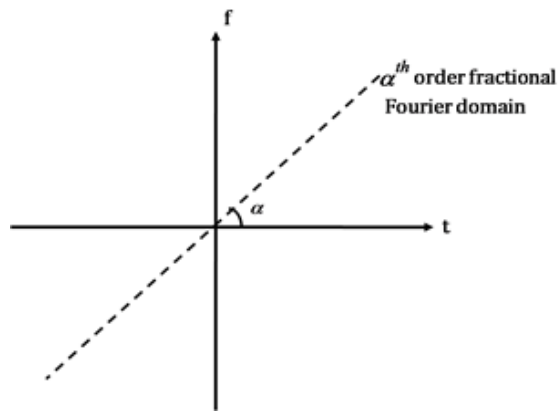
$$\hat{d}(m) = \int_0^T y(t) \sqrt{\frac{\sin \alpha - j \cos \alpha}{T}} \exp \frac{jt^\tau \cot \alpha}{2} \times \exp \left( \frac{j}{2} \left( \frac{2\pi \sin \alpha}{T} \right)^\tau m^\tau \cot \alpha \right) \exp \frac{-j2\pi mt}{T} dt \quad (8)$$

### ۴- مقدار دقیق ICI در سیستم

با قراردادن (۵) و (۶) در (۸) داریم

$$\begin{aligned} \hat{d}(m) &= \frac{1}{T} \sum_k d(k) \times \\ &\quad \exp \left( \left( \frac{-j2\pi \sin \alpha}{T} \right)^\tau (k^\tau - m^\tau) \cot \alpha \right) \\ &\quad \sum_i \times \exp \frac{-j2\pi k \tau_i}{T} \exp \frac{-j\tau_i^\tau \cot \alpha}{2} \times \\ &\quad \int_0^T h_i(t) \exp \left( j \left( \frac{2\pi(k-m)}{T} + \tau_i \cot \alpha - 2\pi f_i t \right) \right) dt \end{aligned} \quad (9)$$

با توجه به عبارت بالا متوجه می‌شویم که سیگنال دریافتی از دو بخش سیگنال اصلی و ICI تشکیل شده است (فرض می‌کنیم که پیشوند گردشی به اندازه‌ای است که ISI را کاملاً حذف می‌کند). بنابراین می‌توان داده‌های دریافتی را به صورت زیر نوشت



شکل ۱: چرخش سیگنال به اندازه  $\alpha$  درجه در جهت پادساعت‌گرد در صفحه زمان-فرکانس.

که در  $K_\alpha(f, t)$  FrFT مطابق زیر است [۱۰]

$$K_\alpha(f, t) = \begin{cases} C_\alpha \exp \left\{ -\frac{jtf}{\sin \alpha} + \frac{j}{2}(t^\tau + f^\tau) \cot \alpha \right\}, & \alpha \neq \pm k, k \in \mathbb{Z} \\ \delta(f - t), & \alpha = \pm k, k \in \mathbb{Z} \\ \delta(f + t), & \alpha = \pm k + 1, k \in \mathbb{Z} \end{cases} \quad (2)$$

که در آن داریم  $C_\alpha = \sqrt{(1 - j \cot \alpha) / 2\pi}$  و  $\alpha = (\pi/2)a$ .  $K_\alpha(f, t)$  در FrFT به شکل تابع chirp است. تابع مدلی chirp مناسب برای سیگنال‌های هستند که در یک بازه زمانی خاص فرکانس‌های مختلف را با نرخ مشخص، جارو می‌کنند. با مقایسه روابط بالا می‌توان نتیجه گرفت که در تبدیل فوریه کسری به جای استفاده از تابع پایه نمایی از تابع پایه chirp استفاده می‌شود. به این ترتیب، تبدیل فوریه عادی حالت خاص تبدیل فوریه کسری است که در حالت  $a = 1$   $\alpha = \pi/2$  است به دست می‌آید.

برای FrFT فرم‌های گسسته زیادی مطرح شده است که در اینجا پرکاربردترین و معروف‌ترین آنها را بیان می‌کنیم. تبدیل فوریه کسری گسسته با زاویه  $\alpha$  تابع  $(n)$  به صورت زیر تعریف می‌شود [۱۰]

$$S_\alpha(m) = \sqrt{\frac{|\sin \alpha| - j \operatorname{sgn}(\sin \alpha) \cos \alpha}{2M+1}} e^{\frac{j}{2} \cot \alpha m^\tau \Delta u^\tau} \times \sum_{n=-N}^N e^{-\frac{j \operatorname{sgn}(\sin \alpha) \pi mn}{2M+1}} e^{\frac{j}{2} \cot \alpha n^\tau \Delta u^\tau} s(n), \quad \alpha \neq k\pi, k \in \mathbb{Z} \quad (3)$$

در (۳)  $\Delta u$  و  $\Delta t$  به ترتیب فاصله نمونه‌برداری در حوزه زمان و حوزه FrFT و  $2M+1$  و  $2N+1$  به ترتیب تعداد نمونه‌ها در زمان و حوزه  $\alpha \neq k\pi$ ،  $k \in \mathbb{Z}$  و  $\operatorname{sgn}(x)$  تابع علامت است. عبارت بالا برای FrFT صادق است. در حالت  $\alpha = (2k+1)\pi$  و  $\alpha = 2k\pi$  برای  $\alpha = (2k+1)\pi$  ترتیب داریم  $S_\alpha(m) = s(-m)$  و  $S_\alpha(m) = s(m)$ .

برای این که تبدیل دارای خاصیت یکانی و معکوس‌پذیری باشد باید رابطه زیر بین  $\Delta t$  و  $\Delta u$  برقرار باشد

$$\Delta t \Delta u = \frac{2\pi}{2M+1} |\sin \alpha| \quad (4)$$

عکس تبدیل فوریه کسری پیوسته و گسسته به ترتیب با جاگذاری  $-\alpha$  در (۲) و (۳) به دست می‌آیند.

2. Jakes Model

3. Zero Order Bessel Function of the First Kind

4. Receiver

1. Sweep

$$1 - \frac{\theta^r}{\tau} \leq \cos \theta \leq 1 - \frac{\theta^r}{\tau} + \frac{\theta^r}{2\tau} \quad (17)$$

کران بالا و پایین توان ICI برابر است با

$$P_{ICI} \leq 1 +$$

$$\sum_i \sigma_i^r \int_{-\infty}^{(1-v)} \left[ \frac{1}{\tau} r(Tv) ((\tau_i \cot \alpha - 2\pi f_i)Tv)^r + \frac{1}{2\tau} \times \right. \\ \left. (1 - r(Tv)) ((\tau_i \cot \alpha - 2\pi f_i)Tv)^r - r(Tv) \right] dv \quad (18)$$

$$P_{ICI} \geq 1 +$$

$$\sum_i \sigma_i^r \int_{-\infty}^{(1-v)} \left[ -\frac{1}{2\tau} ((\tau_i \cot \alpha - 2\pi f_i)Tv)^r + \right. \\ \left. r(Tv) \left( \frac{1}{\tau} ((\tau_i \cot \alpha - 2\pi f_i)Tv)^r - 1 \right) \right] dv \quad (19)$$

با توجه به [۱۲] در مدل Jakes داریم

$$1 - \frac{1}{\tau} (2\pi f_d T v)^r \leq r(Tv) \leq \quad (20)$$

$$1 - \frac{1}{\tau} (2\pi f_d T v)^r + \frac{1}{2\tau} (\tau_i T \cot \alpha v)^r$$

با اعمال این کران‌ها به  $r(Tx)$  داریم

$$P_{ICI} \leq \frac{1}{2\tau} (2\pi f_d T)^r + \frac{T^r}{12} (1 - \frac{1}{\tau} (2\pi f_d T)^r) + \\ \frac{1}{22\tau} (2\pi f_d T)^r \times \sum_i \sigma_i^r (\tau_i \cot \alpha - 2\pi f_i)^r + \quad (21)$$

$$\frac{T^r}{2688\tau} (2\pi f_d T)^r \sum_i \sigma_i^r (\tau_i \cot \alpha - 2\pi f_i)^r$$

$$P_{ICI} \geq \frac{1}{2\tau} (2\pi f_d T)^r - \frac{1}{96} (2\pi f_d T)^r + \\ \frac{T^r}{12} (1 - \frac{1}{\tau} (2\pi f_d T)^r) \sum_i \sigma_i^r (\tau_i \cot \alpha - 2\pi f_i)^r - \quad (22)$$

$$\frac{T^r}{36} \sum_i \sigma_i^r (\tau_i \cot \alpha - 2\pi f_i)^r$$

با توجه به (۲۱) و (۲۲) مشاهده می‌شود که کران‌های به دست آمده برای توان تداخل بین زیرکانال‌ها به ازای فرکانس‌های داپلر ثابت، یک تابع چندجمله‌ای از  $\cot \alpha$  هستند. همچنین این کران‌ها برای یک  $\alpha$  ثابت، یک تابع چندجمله‌ای از فرکانس‌های داپلر هستند. به این ترتیب بررسی توان ICI با این دو کران بسیار راحت‌تر از مقدار دقیق آن در (۱۶) است و دید بهتری از میزان تداخل می‌دهد.

## ۶- نتایج

با توجه به کران بالا و پایین به دست آمده مشاهده می‌شود که زمانی که کanal متغیر با زمان نیست و به عبارت دیگر  $f_d = 0$  است، به ازای  $\alpha = \pi/2$  کران‌ها برابر صفر می‌شوند که نشان می‌دهد در کanal‌های نامتغیر با زمان سیستم FT-OFDM بهینه است. همچنین اگر کanal تخت باشد و چندمسیره نباشد، کران بالا و پایین مستقل از  $\alpha$  هستند و این نشان‌دهنده این است که عملکرد دو سیستم FT-OFDM و FrFT-OFDM در کanal‌های تخت تفاوتی نمی‌کنند. با توجه به عبارت به دست آمده برای کران بالا و مقدار دقیق  $P_{ICI}$ ، دیده می‌شود که در حالتی که برای کanal رابطه زیر برقرار باشد

$$\frac{f_1}{\tau_1} = \frac{f_2}{\tau_2} = \dots = \frac{f_L}{\tau_L} \quad (23)$$

$$\hat{d}(m) = c_{m,m} d(m) + \underbrace{\sum_{m \neq k} c_{m,k} d(k)}_{ICI} \quad (10)$$

که در آن داریم

$$c_{m,k} = \frac{1}{T} \sum_i \exp \left( \frac{-j\sqrt{\pi} \sin \alpha}{\tau} (k - m) \cot \alpha \right) \times \\ \exp \frac{-j\tau_i \cot \alpha}{\tau} \exp \frac{-j\sqrt{\pi} k \tau_i}{T} \times \\ \int h_i(t) \exp \left( j \left( \frac{\sqrt{\pi} (k - m)}{T} + \tau_i \cot \alpha - 2\pi f_i \right) t \right) dt \quad (11)$$

با فرض iid بودن داده‌های اولیه و نرمالیزه بودن توان آنها، توان ICI برابر است با

$$P_{ICI} = E \left| \sum_{k \neq m} c_{m,k} d(k) \right|^r = E \sum_{k \neq m} |c_{m,k}|^r \quad (12)$$

که در آن داریم

$$E |c_{m,k}|^r = \frac{1}{T^r} \sum_i \int_{-\infty}^{T^r} \int_{-\infty}^{T^r} \exp \left( -\frac{j\sqrt{\pi}}{T} (m - k)(t - t') \right) \times \\ \exp(j(\tau_i \cot \alpha - 2\pi f_i)(t - t')) J_r(2\pi f_d (t - t')) dt dt' \quad (13)$$

که با تغییر متغیرهای  $t - t' = Tx$  و  $m - k = l$  توان ICI برابر است با

$$P_{ICI} = \sum_{l \neq m} \sum_i \sigma_i^r \int_{-\infty}^{r(Tv)(1-|v|)} \exp(j(\tau_i \cot \alpha - 2\pi f_i)Tv) = \\ \times \exp(-j\sqrt{\pi} lv) dv = \quad (14)$$

$$\sum_{l \neq m} \sum_i \int_{-\infty}^{r(Tv)(1-|v|)} \cos((\tau_i \cot \alpha T - 2\pi f_i T - 2\pi l)v) dv$$

عبارت بالا که مقدار دقیق تداخل را مشخص می‌کند رابطه پیچیده‌ای است و دید مناسبی از چگونگی تغییر تداخل بر حسب فرکانس داپلر یا زاویه تبدیل FrFT فراهم نمی‌کند. به همین دلیل در بخش بعد کران بالا و پایینی برای توان تداخل محاسبه می‌کنیم که چگونگی تأثیر پارامترهای ذکر شده بر ICI را روشن می‌کند.

## ۵- کران بالا و پایین ICI در سیستم

برای محاسبه کران بالا و پایین توان تداخل ابتدا با فرض زیادبودن تعداد زیرحاملا و با استفاده از رابطه زیر

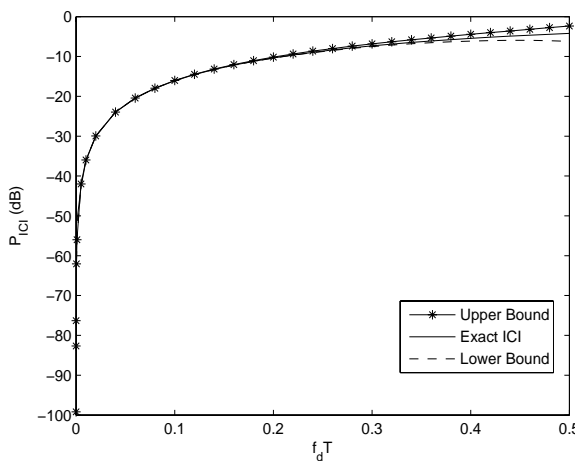
$$\sum_l \exp(-j\sqrt{\pi} lv) = \sum_m \delta(v - m) \quad (15)$$

که  $m$  و  $l$  اعداد صحیح هستند و همچنین با فرض  $1$  را به صورت زیر ساده می‌کنیم

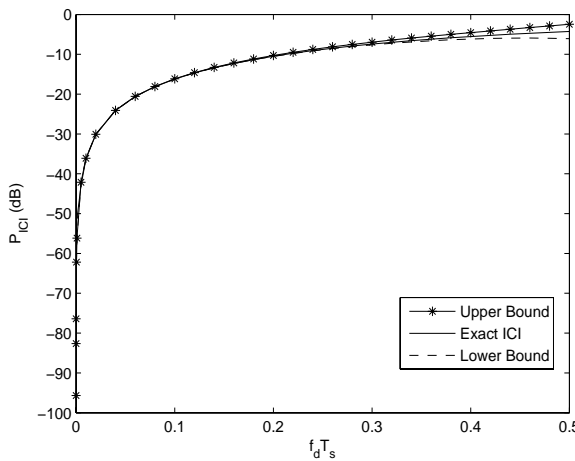
$$P_{ICI} = \sum_i \sigma_i^r \int_{-\infty}^{r(Tv)(1-|v|)} \exp(j(\tau_i \cot \alpha - 2\pi f_i)Tv) = \\ \times \left( \sum_m \delta(v - m) - 1 \right) dv \quad (16)$$

$$1 - 2 \sum_i \sigma_i^r \int_{-\infty}^{r(Tv)(1-|v|)} r(Tv)(1-v) \cos((\tau_i \cot \alpha - 2\pi f_i)Tv) dv$$

با استفاده از کران‌های تابع  $\cos \theta$



شکل ۴: مقدار دقیق توان ICI و کران‌های بالا و پایین آن بر حسب ماکسیمم فرکانس داپلر نرمالیزه در کanal دومسیره با  $\alpha = (\pi/2) \times 10^{-5}$ .



شکل ۵: مقدار دقیق توان ICI و کران‌های بالا و پایین آن بر حسب ماکسیمم فرکانس داپلر نرمالیزه در کanal سه‌مسیره با  $\alpha = (\pi/2) \times 10^{-5}$ .

جدول ۲: مشخصات کلی کanal سه‌مسیره.

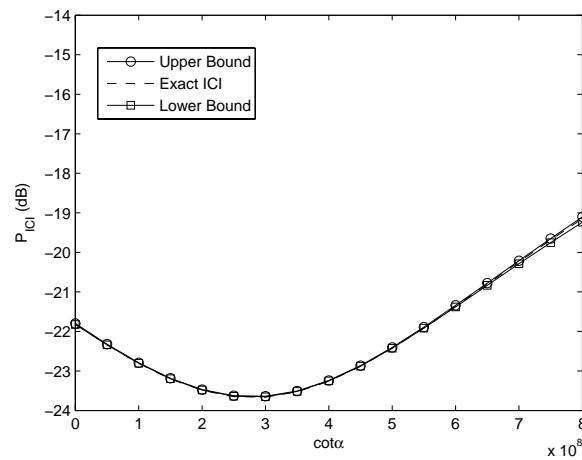
توان مسیرها (dB)	تأثیر مسیرها ( $\mu\text{sec}$ )
-۸,۶۸۵۹	۱۸

حسب  $\cot \alpha$  در شکل ۳ آمده است. با توجه به این نمودار هم دیده می‌شود که کران‌ها به خوبی زاویه‌ای را که در آن توان تداخل مینیمم می‌شود نشان می‌دهند. شکل ۴ و ۵ نیز توان تداخل و کران‌های آن را به ترتیب در کanal دومسیره و سه‌مسیره با  $\alpha = (\pi/2) \times 10^{-5}$  بر حسب ماکسیمم فرکانس داپلر نرمالیزه نشان می‌دهند. با توجه به این دو شکل دیده می‌شود که کران‌ها به خصوص در فرکانس‌های داپلر کوچکتر دارای دقت خوبی هستند.

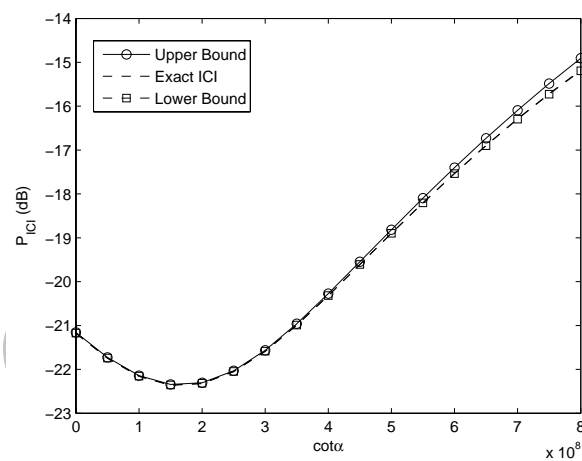
با دقت در عبارت کران‌ها دیده می‌شود که کران پایین و بالا در فرکانس‌های داپلر بزرگ به ترتیب تابعی نزولی و صعودی از  $|\cot \alpha|$  هستند و بنابراین در فرکانس‌های داپلر بزرگ و در زوایای تبدیل بسیار نزدیک به صفر یا  $\pi$ ، دقت خود را کمی از دست می‌دهند. ولی در عمل فرکانس داپلر خیلی بزرگ نیست و معمولاً از ۱۰۰۰ هرتز کمتر است.

برای مقایسه عملکرد ۳ سیستم FrFT-OFDM و FT-OFDM SC با زاویه تبدیل بهینه در کanal‌های فرکانس گزین متغیر با زمان به بررسی خطای بیت<sup>۳</sup> (BER) این سه سیستم در این نوع کanal‌ها می‌پردازیم.

## 2. Bit Error Rate



شکل ۲: مقدار دقیق توان ICI و کران‌های بالا و پایین آن بر حسب  $\cot \alpha$  در کanal دومسیره با فرکانس‌های داپلر  $f = [30, 430, 220]$  (Hz).



شکل ۳: مقدار دقیق توان ICI و کران‌های بالا و پایین آن بر حسب  $\cot \alpha$  در کanal سه‌مسیره با فرکانس‌های داپلر  $f = [30, 430, 220]$  (Hz).

جدول ۱: مشخصات کلی کanal دومسیره.

توان مسیرها (dB)	تأثیر مسیرها ( $\mu\text{sec}$ )
-۴,۳۴۲۹	۹

به عبارت دیگر تابع گسترش<sup>۱</sup> کanal در صفحه تأخیر- داپلر خطی باشد، آن گاه زاویه  $\alpha = \cot^{-1}(2\pi f_i / \tau_i)$  بهینه است. در عمل کانالی که این ویژگی را دارد کanal دومسیره است [۱۳] و [۱۴]. برای بررسی و تحلیل رفتار کران‌ها و میزان دقت و نزدیکی آنها به مقدار واقعی توان تداخل به بررسی آنها در دو کanal دو و سه‌مسیره به ترتیب با مشخصات کلی موجود در جدول‌های ۱ و ۲ می‌پردازیم. جهت جامع‌بودن بررسی‌ها، کanal‌ها طوری انتخاب شده‌اند که کanal دومسیره ویژگی مذکور در (۲۳) را دارد اما کanal سه‌مسیره این ویژگی را ندارد. شکل ۲ میزان توان تداخل و کران‌های در جدول‌های ۱ و ۲ دارای کanal دومسیره با فرکانس‌های داپلر  $f = [30, 430, 220]$  (Hz) بر حسب  $\cot \alpha$  نشان می‌دهند. با توجه به این نمودار می‌توان دید که کران‌ها به مقدار واقعی نزدیک هستند و به خوبی زاویه‌ای را که در آن  $P_{ICI}$  مینیمم است، نشان می‌دهند. این زاویه همان طور که گفته شد از رابطه  $(\cot \alpha)^{-1} = 2\pi f_i / \tau_i$  به دست می‌آید. میزان تداخل و کران‌های آن در کanal سه‌مسیره با فرکانس‌های داپلر  $f = [30, 430, 220]$  (Hz) بر

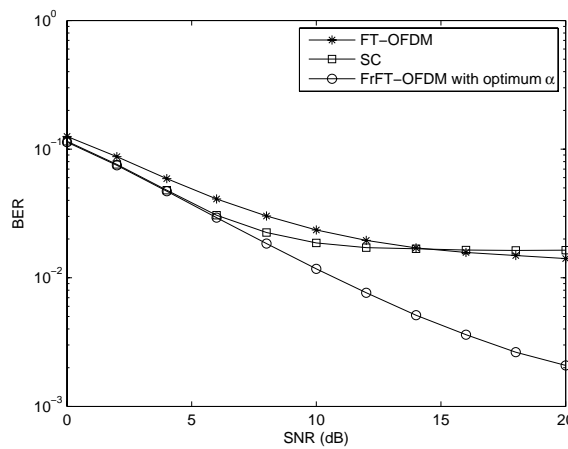
## 1. Spread Function

زمان به ازای  $\alpha = \pi/2$  یکسان است و در کanal های نامتغیر با این نشان دهنده بهینه بودن FT-OFDM در این کanal ها است. با توجه به عبارت دقیق توان تداخل و کران بالای به دست آمده می توان نتیجه گرفت در شرایطی که (۲۳) بین فرکانس های دابلر مسیرهای کanal صادق باشد،  $\alpha = \cot^{-1}(2\pi f_i/\tau)$  بهینه است. همچنین بررسی توان تداخل و کران های آن در دو کanal دومسیره و سه مسیره نشان می دهد که کران های به دست آمده دارای دقت خوبی هستند و می توانند زاویه ای را که توان تداخل را مینیمم می سازد به خوبی مشخص کنند. نتایج به دست آمده از شبیه سازی نشان می دهند که سیستم FrFT-OFDM با زاویه تبدیل بهینه در کanal های فرکانس گزین متغیر با زمان، دارای عملکرد بهتری نسبت به دو سیستم FT-OFDM و SC است.

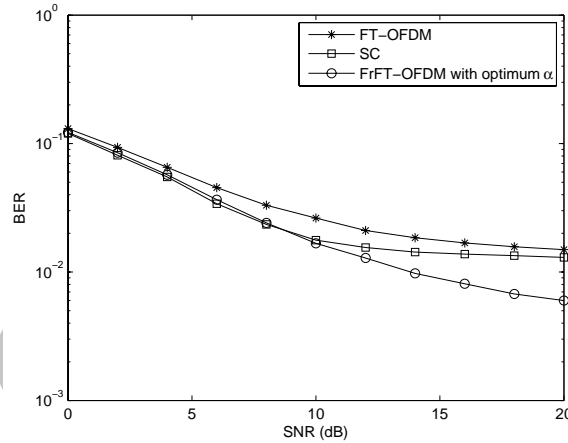
## مراجع

- [1] Y. Zhou, J. Wang, and M. Sawahashi, "Downlink transmission of broadband OFCDM systems - part II: effect of doppler shift," *IEEE Trans. Commun.*, vol. 54, no. 6, pp. 1097-1108, Jun. 2006.
- [2] K. A. Hamdi, "Unified error-rate analysis of OFDM over time-varying channels," *IEEE Trans. Wireless Communications*, vol. 10, no. 8, pp. 2692-2702, Aug. 2011.
- [3] M. Martone, "A multicarrier system based on the fractional fourier transform for time-frequency-selective channel," *IEEE Trans. Commun.*, vol. 49, no. 6, pp. 1011-1020, Jun. 2001.
- [4] N. Benvenuto, R. Dinis, D. Falconer, and S. Tomasin, "Single carrier modulation with nonlinear frequency domain equalization: an idea whose time has come again," *Proceedings of the IEEE*, vol. 98, pp. 69-96, Jan. 2010.
- [5] S. Pei and J. Ding, "Closed-form discrete fractional and affine fourier transforms," *IEEE Trans. Signal Processing*, vol. 48, no. 5, pp. 1338-1353, May 2000.
- [6] A. Serbes and L. D. Ata, "Eigenvectors of the DFT and discrete fractional fourier transform based on the bilinear transform," in *Proc. IEEE 18th Signal Processing and Communications Applications Conf.*, pp. 268-271, 22-24 Apr. 2010.
- [7] B. Tianyang, "A fast two-dimension discrete fractional fourier transform algorithm and its application on digital watermarking," in *Proc. IEEE 12th. Int. Conf. on Communication Technology, ICCT'10*, pp. 120-123, 11-14 Nov. 2010.
- [8] J. Zheng and Z. Wang, "ICI analysis for FRFT-OFDM systems to frequency offset in time-frequency selective fading channels," *IEEE Communications Letters*, vol. 14, no. 10, pp. 888-890, Oct. 2010.
- [9] L. B. Almeida, "The fractional fourier transform and time, frequency representations," *IEEE Trans. Signal Processing*, vol. 42, no. 11, pp. 3084-3091, Nov. 1994.
- [10] S. C. Pei and J. J. Ding, "Closed-form discrete fractional and affine fourier transforms," *IEEE Trans. Signal Processing*, vol. 48, no. 5, pp. 1338-1353, May 2000.
- [11] K. Panta and J. Armstrong, "Analysis of continuous time domain representation of OFDM signals," in *Proc. Australasian Telecommunication Networks and Applications Conf., ATNAC'11*, 3 pp. 3, 9-11 Nov. 2011.
- [12] Y. Li and L. J. Cimini, "Bounds on the interchannel interference of OFDM in time-varying impairments," *IEEE Trans. Communications*, vol. 49, no. 3, pp. 401-404, Mar. 2001.
- [13] S. Barbarossa and R. Torti, "Chirped-OFDM for transmission over time-varying channels with linear delay-doppler spreading," in *Proc. IEEE Int. Conf. on Acoustics, Speech, and Signal Processing*, vol. 4, pp. 2377-2380, Salt Lake City, UT, USA, 7-11 May 2001.
- [14] T. Erseghe, N. Laurenti, and V. Cellini, "A multicarrier architecture based upon the affine fourier transform," *IEEE Trans. on Commun.*, vol. 53, no. 5, pp. 853-862, May 2005.

زهرا مختاری تحصیلات خود را در مقطع کارشناسی مهندسی برق- مخابرات در سال ۱۳۹۰ از دانشگاه بیزد و در مقطع کارشناسی ارشد مهندسی برق- مخابرات سیستم در سال ۱۳۹۲ از دانشگاه تهران به پایان رسانده است و هم اکنون دانشجوی تحقیقاتی موردن علاقه ایشان عبارتند از: مخابرات سلولی نسل چهارم و پنجم، سیستم های جند و رویدی چند خروجی بزرگ مقیاس، تبدیل فوریه کسری و همگام سازی فرکانسی و زمانی.



شکل ۶: خطای بیت سه سیستم FrFT-OFDM و SC با  $\alpha$  بهینه بر حسب SNR در کanal دومسیره.



شکل ۷: خطای بیت سه سیستم FrFT-OFDM و SC با  $\alpha$  بهینه بر حسب SNR در کanal سه مسیره.

شکل های ۶ و ۷ نمودارهای BER بر حسب SNR را برای سه سیستم مذکور به ترتیب در کanal دو و سه مسیره نشان می دهند. با توجه به این دو شکل نتیجه می شود که در کanal های فرکانس گزین متغیر با زمان، خطای بیت سیستم FrFT-OFDM با زاویه تبدیل بهینه در SNR های بالا کمتر از سیستم های SC و FT-OFDM است. همچنین با مقایسه شکل ۶ و ۷ دیده می شود که به کارگیری تبدیل فوریه کسری در کanal هایی که دارای ویژگی ذکر شده در (۲۳) هستند، باعث بهبود بیشتر عملکرد سیستم می شود. دلیل این امر این است که در کanal هایی که دارایتابع گسترش خطی در صفحه تأخیر- دابلر هستند، ماتریس کanal در حوزه FrFT با زاویه بهینه به ماتریس قطری نزدیک تر است و به این ترتیب توان ICI کمتری وجود دارد.

## نتیجه گیری

در این مقاله پس از محاسبه مقدار دقیق ICI به ارائه کران بالا و پایین برای آن پرداخته ایم. این کران ها ضمن داشتن دقت مناسب و نزدیک بودن مقدار آنها به مقدار واقعی، دارای عبارات ساده ای هستند و بررسی آنها راحت تر است و دید بهتری از میزان تداخل بر حسب پارامترهای کanal و سیستم می دهند. با توجه به عبارات به دست آمده برای ICI و کران های آن متوجه می شویم که در کanal های تخت عملکرد دو سیستم

### 1. Signal to Noise Ratio

مریم صباحیان در سال‌های ۱۳۷۸ و ۱۳۸۰ به ترتیب مدرک کارشناسی و کارشناسی ارشد مهندسی برق خود را از دانشگاه صنعتی شریف و در سال ۱۳۸۶ مدرک دکتری مهندسی برق خود را از دانشگاه کارلتون در کانادا دریافت نمود. از سال ۱۳۸۷ الی ۱۳۸۹ نامبرده به عنوان همکار فوق دکتری در دانشگاه هاروارد آمریکا حضور داشت و هم‌اکنون استادیار دانشکده مهندسی برق و کامپیوتر دانشگاه تهران می‌باشد. زمینه‌های علمی مورد علاقه نامبرده متعدد بوده و شامل موضوعاتی مانند مخابرات سلولی نسل چهارم و پنجم، سیستم‌های چند ورودی چند خروجی بزرگ مقیاس، موج‌های میلی‌متری، سیستم‌های رادیوشناسی، همسان‌سازی حوزه فرکانس و همگاه‌سازی فرکانسی و زمانی می‌باشد.

Archive of SID